

# Journée Utilisateurs #16 OpenTURNS

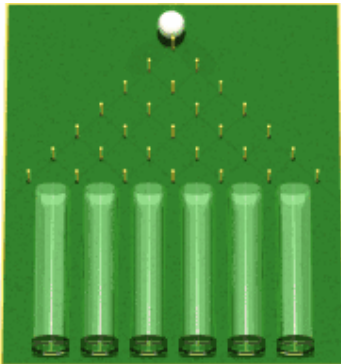
## Module oteclm Extended Common Load Method

V. Rychkov – A. Dutfoy

EDF R&D Pericles

Vendredi 23 juin 2023

EDF Lab Saclay



# Introduction

## ❖ Sûreté nucléaire à EDF

- Dès la construction du parc nucléaire (fin 1970)
- Etudes déterministes / **probabilistes (EPS)** (depuis 1991)
- Les EPS sont organisées par **séquences accidentelles** qui contiennent des événements initiateurs.
- L'objectif des EPS est de calculer le **risque de fusion du coeur** (EPS de niveau 1).

## ❖ Systèmes importants pour la sûreté

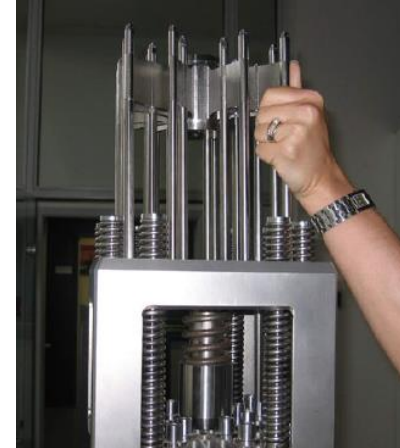
- Conçus avec une redondance élevée pour assurer un **haut niveau de fiabilité**
- Les **défaillances de cause commune (DCC)** sont particulièrement étudiées car elles sont les **principales responsables de défaillance des systèmes redondants**.
- Certains systèmes sont composés **de plusieurs dizaines de composants** : par exemple, les grappes de contrôle, les soupapes de sûreté (REB).
- Dans ce cas, on parle de **défaillance de cause commune de grand ordre**.



# Introduction

## ❖ Fonctions de sûreté

- Contrôle de réactivité
- Refroidissement
- Confinement



## ❖ Contrôle de réactivité: Arrêt Automatique du Réacteur (AAR) - Grappes de contrôle

- En cas d'un aléa (perturbation important de fonctionnement de la centrale) **l'Arrêt automatique du réacteur est automatiquement enclenché.**
- Le système d'arrêt d'urgence du réacteur agit pour limiter les conséquences des conditions de fonctionnement, **c'est-à-dire limiter rapidement l'énergie dégagée** par le coeur du réacteur et **faciliter le refroidissement du combustible** .
- Les **grappes de contrôle** constituées de crayons absorbant les neutrons et sont insérées dans les assemblages combustibles. (60-90 grappes de contrôle)
- Dans les Etudes Probabilistes de Sûreté, **l'AAR est défaillant** lorsqu'il y a non insertion de N grappes (N=1,2, 3, ... selon le scenario).



# Introduction

## ❖ Plusieurs méthodes pour quantifier les défaillances de cause commune

- Modèle du facteur  $\beta$  de Fleming (1975)
- Modèle Multiple Greek Letter de Flemming
- Modèle du facteur  $\alpha$  de Molesh et Siu (1987)
- ➔ modèles peu efficaces pour un grand nombre de composants redondants!

## ❖ Extended Common Load Model

- Méthodologie pour les **DCC de grand ordre**.
- Avantage: le nombre de paramètres est **indépendant du nombre de composants**.
- Développée par **T. Mankamo** dans les années 90.
- Modèle utilisé par EDF pour le calcul des probabilités de défaillances simultanées de  $k$  composants parmi  $n$ , pour les grappes de contrôle.



# ECLM

## ❖ Système étudié:

- n composants **identiques**,
- de **même résistance R**
- soumis à une **même sollicitation S**

Sollicitation aléatoire, modélisée par une mixture de lois Normale

$$f_S(s) = \pi \frac{1}{\sigma_b} \varphi \left( \frac{s - \mu_b}{\sigma_b} \right) + (1 - \pi) \frac{1}{\sigma_x} \varphi \left( \frac{s - \mu_x}{\sigma_x} \right) \quad \forall s \in \mathbb{R}$$

Résistance aléatoire, modélisée par une loi Normale

$$f_R(r) = \frac{1}{\sigma_R} \varphi \left( \frac{r - \mu_R}{\sigma_R} \right) \quad \forall r \in \mathbb{R}$$

## ❖ Probabilités de l'ECLM:

- **PSG(k|n)**: prob. que k composants spécifiques soient défectueux (quel que soit l'état des autres composants)
- **PEG(k|n)**: prob. que k composants spécifiques soient défectueux et que les autres soient fonctionnels
- **PES(k|n)**: prob. que k composants quelconques soient défectueux et que les autres soient fonctionnels
- **PTS(k|n)**: prob. que k composants quelconques soient défectueux (quel que soit l'état des autres composants)



# ECLM

- La **connaissance des PEG(k|n)** permet de connaître les PSG(k|n), les PES(k|n) et les PTS(k|n)
- On se focalise sur les probabilités PEG

$$\text{PEG}(k|n) = \mathbb{P}[S > R_1, \dots, S > R_k, S < R_{k+1}, \dots, S < R_n]$$

$$\text{PEG}(k|n) = \int_{s \in \mathbb{R}} f_S(s) [F_R(s)]^k [1 - F_R(s)]^{n-k} ds$$

→ estimation des paramètres du modèle à partir des données observées

## ❖ Données disponibles:

- Décompte du nombre de composants en panne parmi n à chaque sollicitation,
- Un grand nombre N de sollicitations
- Vecteur d'impact:  $V = (V_0, \dots, V_n)$  où  $V_i$  est le nombre de sollicitations ayant mené à i composants défectueux exactement parmi n

$$V_0 + \dots + V_n = N$$



# ECLM

## ❖ Modèle probabiliste:

- Le nombre de sollicitations parmi  $N$  qui ont mené à  $k$  composants HS exactement suit une loi **MultiNominale paramétrée par  $(N, (p_0, \dots, p_n))$**  avec:

$$(p_0, \dots, p_n) = (\text{PES}(0|n), \dots, \text{PES}(n|n))$$

❖ **PES( $k|n$ )**: prob. que  $k$  composants quelconques soient défectueux et que les autres soient fonctionnels

- Le vecteur d'impact est une réalisation de cette loi **MultiNominale**

## ❖ Vraisemblance des données:

- Vecteur des paramètres du modèle:  $\theta_t = (\pi, \mu_b, \sigma_b, \mu_x, \sigma_x, \mu_R, \sigma_R)$

$$\mathcal{L}(\theta_t | V_t^{n,N}) = \prod_{k=0}^n \text{PES}(k|n)^{V_t^{n,N}[k]}$$

$$\log \mathcal{L}(\theta_t | V_t^{n,N}) = \sum_{k=0}^n V_t^{n,N}[k] \log \text{PES}(k|n)$$

- Comme  $\text{PES}(k|n) = C_n^k \text{PEG}(k|n)$ , on peut écrire la log-vraisemblance en fonction des  $\text{PEG}(k|n)$  (à une constante près)

$$\theta_t^{\text{optim}} = \arg \max_{\theta_t} \sum_{k=0}^n V_t^{n,N}[k] \log \text{PES}(k|n) = \arg \max_{\theta_t} \sum_{k=0}^n V_t^{n,N}[k] \log \text{PEG}(k|n)$$



# ECLM : module oteclm

$$\theta_t^{optim} = \arg \max_{\theta_t} \sum_{k=0}^n V_t^{n,N}[k] \log \text{PES}(k|n) = \arg \max_{\theta_t} \sum_{k=0}^n V_t^{n,N}[k] \log \text{PEG}(k|n)$$

## ❖ Procédure:

- Nouveau paramétrage du problème
- + Hypothèse de Mankamo
- ➔ l'optimisation de la log-vraisemblance est un problème de **dimension 3**
- Bootstrap sur les données pour obtenir plusieurs réalisations du paramétrage optimal et estimer sa loi

## ❖ Difficultés:

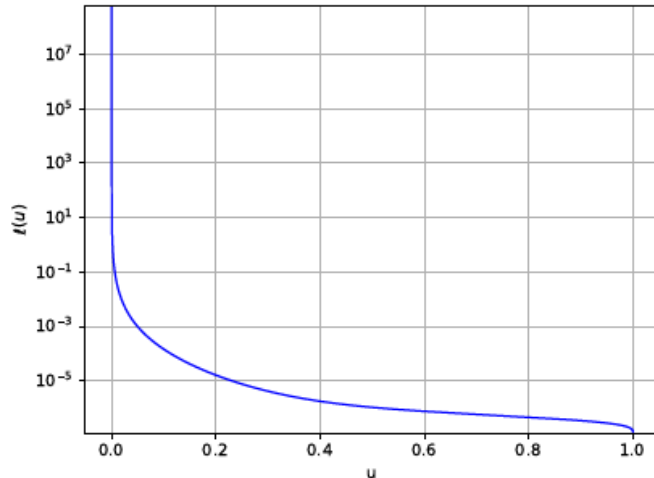
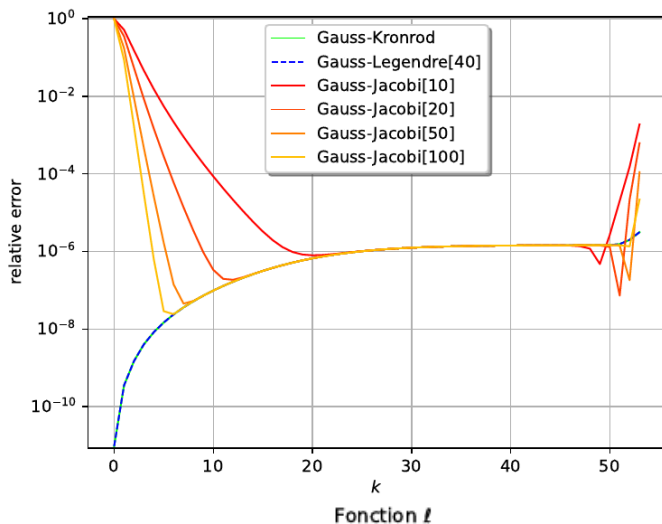
- La maximisation de la vraisemblance nécessite le **calcul de (n+1) intégrales**:  $\text{PEG}(k|n)$  à chaque appel de la log-vraisemblance
- Ce calcul doit être précis **même pour des probabilités très faibles** car les probabilités interviennent sous forme de  $\log \text{PEG}(k|n)$  dans la vraisemblance!
- Nous avons utilisé les méthodes de quadrature proposées par OpenTURNS: Gauss-Legendre, Gauss-Kronrod
  - ➔ erreur relative inférieure à  $10^{-6}$  pour toutes les PEG (même  $10^{-8}$  pour  $k > 6$ )
  - ➔ Par défaut, GL(40 points)





# ECLM : module oteclm

Probabilités PEG



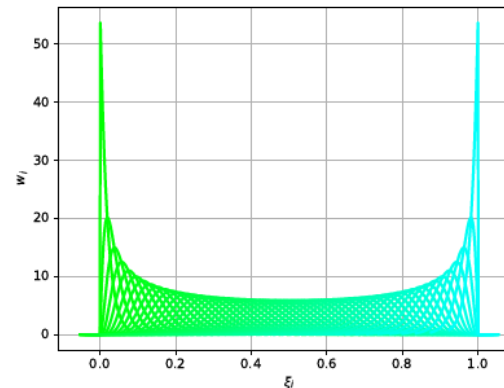
## ❖ Quadratures

- Calculs validé /Maple
- Gauss-Jacobi:

$$\text{PEG}(k|n = \beta(n+1, n-k+1) \int_0^1 \ell(u) p_k(u) du$$

- La fonction  $\ell$  a une variation très brutale au voisinage de 0: elle passe de  $10^7$  en  $u=0$  à  $10^{-5}$  en  $u=0,2$ !
- La décroissance en 0 est beaucoup plus rapide que n'importe quel polynôme
- ➔  $\ell$  est bien approchée par un polynôme en  $u=1$  et très mal en  $u=0$
- ❖ Pour  $k$  grand, les points de la quadrature sont autour de 1 ➔ calcul de bonne qualité!
- ❖ Pour  $k$  petit, les points de quadrature sont autour de  $u=0$  ➔ calcul de mauvaise qualité!

Densité de la loi Beta( $k+1$ ,  $53-k+1$ ), pour  $0 \leq k \leq 53$



# ECLM : module oteclm

## ❖ Performance du code:

- **Optimisation de la log-vraisemblance:** on a choisi **Cobyla** pour ne pas avoir à calculer le gradient de la log-vraisemblance par rapport aux paramètres
- **Fonctions:** nous avons utilisé le plus possible la classe **SymbolicFunction** beaucoup plus performante pour l'évaluation d'une fonction que la classe **PythonFunction** qui s'appuie sur une fonction définie en python
- **Mécanisme de cache:** nous avons mis en place ce mécanisme pour le calcul des probabilités PEG
- **Parcimonie des calculs:** dans l'étape d'optimisation de la log-vraisemblance, ne sont calculés que les  $PEG(k|n)$  associées à une composante  $V_k$  non nulle!
- **Parallélisation:** pour les calculs massifs par Bootstrap, nous avons mis en place une technique de parallélisation basée sur l'écriture d'un fichier annexe et qui lance la parallélisation via la bibliothèque **Pool** (utilise tous les coeurs de calcul disponibles sur la machine)



# ECLM : module oteclm

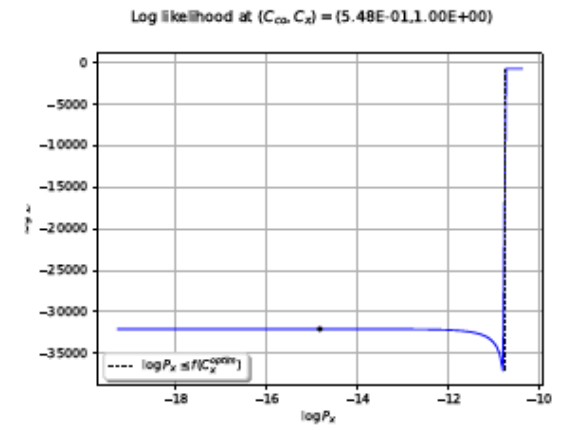
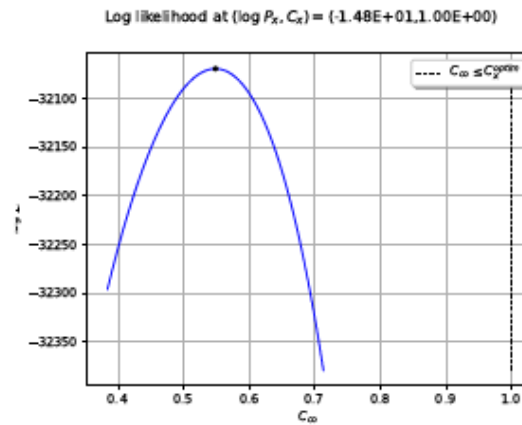
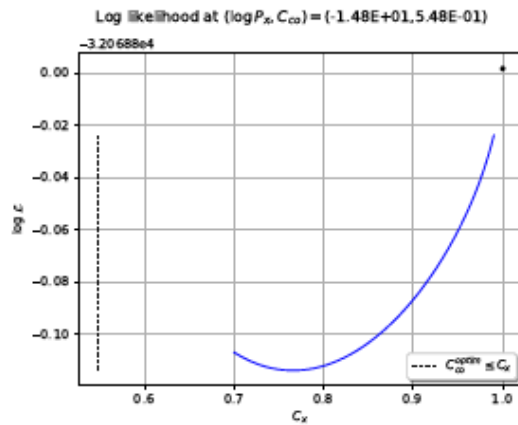
## ❖ Exemple:

- 53 composants
- Sollicités 2797 fois

Les résultats ont été supprimés



# ECLM : module oteclm



# Conclusion

## ❖ Pourquoi un module OpenTURNS?

- **Profiter des capacités de modélisation de l'outil**
  - Etude d'incertitudes possible!
  - Méthodes numériques pour le calcul des intégrales
- **Code open source**
  - Diffusion auprès de la communauté EPS
  - Capitalisation / enrichissement
  - Audit aisé des autorités de contrôle
  - Acceptation de la méthode

